

(284) アルカリ土類金属酸化物 - 塩化物系
フラックス中の CO_2 溶解度

京大院 入谷英樹、三菱金属 佐藤秀哉
京大工学部 岩瀬正則、一瀬英爾

[1. 緒言] $\text{CaO}-\text{CaCl}_2$, $\text{BaO}-\text{BaCl}_2$ 系等アルカリ土類金属の酸化物と塩化物から構成された2元系フラックスは溶銑予備処理用として一部で使用されているが、これら Non-traditional slag の熱力学的性質なかでも(1) P_2O_5 の活量、(2) フォスフェートキャパシティー、(3) サルファトイドキャパシティー等は測定値が非常に少ないか、あるいは全く報告がない。故 C. Wagner [1] はスラグ中への CO_2 溶解度を測定すればこれらの熱力学量の相対的な関係がある程度予測出来るのではないかと示唆した。著者ら [2] は先に種々のスラグ中への CO_2 溶解度の測定方法を確立し、これを $\text{Na}_2\text{O}-\text{SiO}_2$ 系スラグへ適用したところ、高温冶金実験としては測定が比較的容易で上記の熱力学量を予測するための実験手法として非常に有望である事が分かった。今回、一連のアルカリ土類酸化物 - 塩化物系フラックス中の CO_2 溶解度を測定したので報告する。

[2. 実験方法] 実験方法として、熱重量法を採用した。すなわち、フラックス約 1.5-2.5 g を白金ルツボ内、 $\text{Ar}(1 \text{ atm})$ または $\text{CO}_2(1 \text{ atm})$ 雰囲気中、 SiC 抵抗炉内で加熱、溶解し、 CO_2 の吸収、放出に伴うフラックス重量の変化を連続的に測定した。測定対象は $\text{CaO}-\text{CaCl}_2$, $\text{SrO}-\text{SrCl}_2$, $\text{BaO}-\text{BaCl}_2$ の2元系フラックスである。実験温度はフラックス系によるが、850 - 1350°C である。

[3. 実験結果] CO_2 を吸収、放出させる際に要した時間は、スラグ重量と温度によるが、均一液相領域では 20 - 40 分程度であり、かなり短時間で平衡に達する事が分かった。モル分率で表示した CO_2 溶解度と温度の関係を図 1 に示した。図中 $X^\circ(i)$ と表示したスラグ組成は CO_2 吸収前のスラグ組成を示す。

$\log X(\text{CO}_2)$ と $1/T$ の間には直線関係が成立し、これらアルカリ土類酸化物 - 塩化物系フラックス中への CO_2 の溶解は $\text{CO}_2(g) + \text{O}^{2-}(\text{in slag}) = \text{CO}_3^{2-}(\text{in slag})$ で表わされる、いわゆる化学吸収である事を示していると考えられる。図 1 中 $X^\circ(\text{BaO}) = 1$ すなわち pure BaO に対する CO_2 溶解度は BaCO_3 の生成に対応するものであり、 $X(\text{CO}_2) = 0.5$ である。図 2 に示すように、アルカリ土類酸化物 - 塩化物系フラックスは CO_2 溶解度が非常に大きく、例えば $X^\circ(\text{CaO}) = 0.1$ のフラックスはソーダ系の $X^\circ(\text{Na}_2\text{O}) = 0.5$ のスラグとほぼ同一の CO_2 溶解度を示す。 $\text{BaO}-\text{BaCl}_2$ 系では CO_2 溶解度はさらに大きくなり、 $\text{CaO}-\text{CaCl}_2$ 系の約 5-10 倍の値を示す。 $\text{SrO}-\text{SrCl}_2$ 系は、 $\text{BaO}-\text{BaCl}_2$ 系とそれほど大きな差はない。つまり CO_2 溶解度は一般にアルカリ土類金属の原子量が大きくなるほど大きくなる。この傾向は $\text{CaO}-\text{FeO}$, $\text{SrO}-\text{FeO}$, $\text{BaO}-\text{FeO}$ 系スラグ中の FeO の活量が $\text{Ca}, \text{Sr}, \text{Ba}$ の順に小さくなる事に対応しているようである。

[文献] [1] C. Wagner, Met. Trans., Vol. 6B, 1975, p. 405. [2] 佐藤ら : 学振 19 委 - 昭和 60 年 10 月

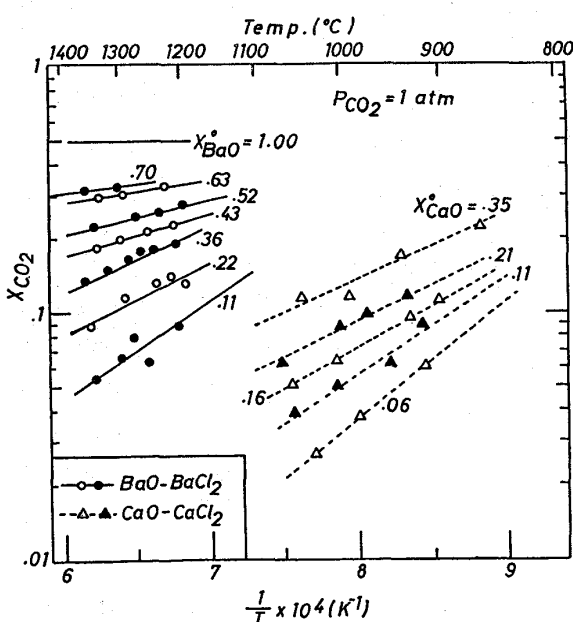


Fig.1 Relation between CO_2 solubility and reciprocal temperature

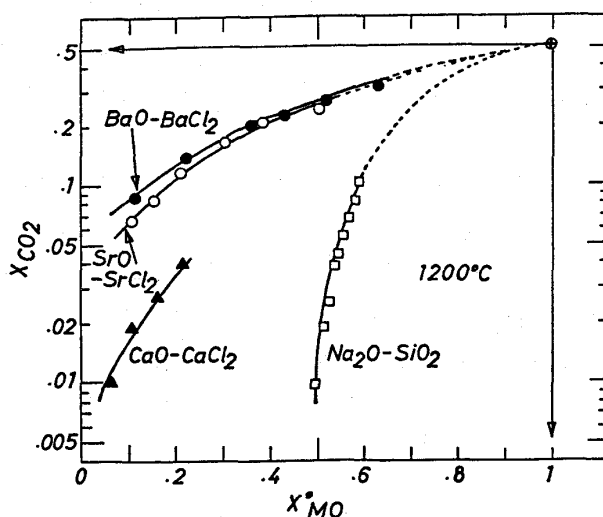


Fig.2 Solubility of CO_2 as a function of slag composition at 1200°C